

# ساخت شیشه سرامیک تراشکاری شونده میکائی فلور

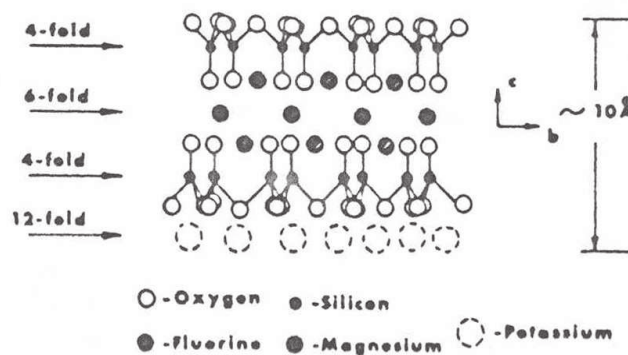
صدیقه خطیبزاده<sup>۱</sup>، بیژن افتخاری یکتا<sup>۲</sup>، ماندانا شیخانی<sup>۳</sup>، سید بهزاد طباطبائی<sup>۳</sup>

<sup>۱</sup>پژوهشکده صنایع رنگ، <sup>۲</sup>دانشکده مواد دانشگاه علم و صنعت ایران، <sup>۳</sup>پژوهشگاه مواد و انرژی

**چکیده:** در این پژوهش با انتخاب یک فرمول مبنای و تعییر درصد وزنی اجزای اصلی که در فاز بلوری میکائی فلور شرکت دارند ( $F^-$ ,  $B^{+3}$ ,  $K^+$ ) ترکیب شیشه - سرامیک مناسب از نظر قابلیت تراشکاری و استحکام حاصل شد. در این مسیر برای تعیین ویژگی‌های فیزیکی قطعات شیشه - سرامیک از روش‌های آنالیز SEM, XRD, DTA, PSA و اندازه‌گیری استحکام خمی و ریزسختی استفاده گردید. نتایج حاصل از این تحقیق نشان می‌دهد که با افزایش میزان  $K^+$  و  $F^-$  خواص شیشه - سرامیک بهبود می‌یابد. میانگین استحکام خمی و ریزسختی ترکیب بهینه به ترتیب برابر  $42 \text{ MPa}$  و  $2/5 \text{ GPa}$  بود.

## ۱- مقدمه

ساختمان ترکیبات مختلف میکائی فلور شیشه به میکاهای طبیعی می‌باشد با این تفاوت که در این ساختمان یون‌های فلور جایگزین یون‌های هیدروکسیل شده‌اند. پائولینگ فرمول عمومی  $KX_nY_4O_{10}(OH, F)_2$  را برای ترکیبات مختلف میکا پیشنهاد کرده است [۱]. در این فرمول  $n \leq 3 \leq 2$ ،  $X$  نمایانگر کاتیون‌هایی با عدد کوردیناسیون ۶ و ۷ نمایانگر کاتیون‌هایی با عدد کوردیناسیون ۴ (به ویژه  $Si^{4+}$  و  $Al^{3+}$ ) می‌باشد. با در نظر گرفتن این فرمول، برای ترکیبات میکائی فلور فرمول عمومی  $ZX_nY_4O_{10}F_2$  که در آن  $Z$  نشانگر کاتیون‌هایی با عدد کوردیناسیون ۱۲ (ممولاً  $K$  و در برخی از موارد  $Ca, Ba$  یا  $Na$ ) می‌باشد، حاصل می‌گردد. شکل (۱) ساختمان میکائی فلور تتراسیلیسیک ( $K_2Mg_5Si_8O_{20}F_4$ ) را نشان می‌دهد.



شکل ۱- ساختمان میکائی فلور تتراسیلیسیک

این ساختمان از دو لایه چهار وجهی  $SiO_4$  و یک لایه میانی هشت وجهی که عناصر سازنده آن دو یون  $F^-$  و چهار یون  $O$  می‌باشد و کاتیون‌های منیزیم در آن قرار دارد تشکیل شده است. در حقیقت دو لایه چهار وجهی بوسیله یون‌های منیزیم موجود در هشت وجهی محکم به یکدیگر متصل می‌شوند. یون‌های  $K$  موجود در کوردیناسیون ۱۲ تایی نیز دو ورقه مجاور را به یکدیگر متصل می‌کنند. مشخصه کلیواز صفحه‌ای کانی‌های میکا بین این ورقه‌ها قرار دارد.

میکایی که در مواضع چهار وجهی آن فقط  $Si$  موجود باشد تتراسیلیسیک، میکایی که علاوه بر  $Si$  دارای  $Al$  نیز باشد و نسبت  $Si/Al$  در آن برابر ۳ باشد تری‌سیلیسیک و میکایی که در مواضع چهار وجهی آن تعداد یکسانی از  $Si$  و  $Al$  قرار گرفته باشد میکای دی‌سیلیسیک نامیده می‌شوند. لازم به ذکر است که در مواضع



هشت وجهی نیز علاوه بر  $Mg^{2+}$  کاتیون‌های دیگری همچون  $Ti^{4+}$ ,  $Mn^{3+}$ ,  $Mn^{2+}$ ,  $Al^{3+}$ ,  $Li^{+}$  می‌توانند قرار گیرند. شناخت و سنتز شیشه - سرامیکهای ماشینکاری شونده بر پایه میکائی فلوئور به اوایل سال ۱۹۷۰ باز می‌گردد [۲]. ویژگی منحصر به فرد این شیشه - سرامیکها آن است که می‌توان این قطعات را بوسیله ابزار آلاتی که برای ماشینکاری فلزات بکار می‌رود براحتی تراشکاری نمود. این قابلیت از توانایی کلیواژ ساختمان بلوری میکائی فلوئور و ریز ساختاری که در آن ردیفی از بلورهای ورقه‌ای و درهم قفل شده میکا در یک زمینه ترد شیشه‌ای پراکنده می‌باشد نشأت می‌گیرد. وجود چین ریزساختاری موجب می‌شود که به هنگام تراشکاری، ترک‌های ناشی از تراشند پس از پیشروی در صفحات کلیواژ بلورهای میکا به بلورهای دیگری که صفحات کلیواژ آنها عمود بر جهت پیشروی ترک قرار دارند برخورد کرده، با تغییر مسیر در فصل مشترک بلور - شیشه به پیشروی خود ادامه دهدن. چنین حالتی موجب می‌شود که قطعه را بدون آنکه تخریب شود بتوان تراشکاری نمود [۳]. میزان صافی سطح قطعه پس از عملیات تراشکاری تابعی از درصد حجمی ذرات بلوری میکائی فلوئور، نسبت طول به ضخامت بلورها و میزان درهم قفل شدنشان می‌باشد [۳-۴].

شیشه - سرامیکهای بر پایه میکائی فلوئور از ضربه دیکتریک بسیار بالایی [۵] برخوردار می‌باشند و به خاطر وجود ریزساختار یکنواخت و در هم قفل شده بلورهای میکائی فلوئور، در برابر شوک حرارتی مقاوم هستند. این ویژگی‌ها همراه با قابلیت ماشینکاری و خواص مکانیکی مناسب آنها موجب شده است که این ماده کاربردهایی همچون انواع چرخ دنده، مقره‌های الکتریکی و لتاژ بالا  $KV/mm^2$ ،  $40$  ، نگهدارنده نمونه در میکروسکوپ‌های میدان یونی، بوبین‌های سیسموگراف، قاب تلسکوپ اشعه گاما، نگهدارنده‌های مرزی در شاتل فضایی، میکروویو و پایه در قطعات الکترونیک را به خود اختصاص دهد [۵-۶]. هدف از این مقاله تعیین درصد وزنی مناسب اجزاء تشکیل دهنده شیشه اولیه به منظور سنتز شیشه - سرامیک میکائی فلوئور با خواص مکانیکی و قابلیت ماشینکاری مناسب می‌باشد.

## ۲- روش کار

جدول ۱ درصد وزنی آمیزهای انتخاب شده در این پژوهش را نشان می‌دهد. برای تامین اکسیدهای مذکور در هر آمیز به ترتیب از سیلیس ده حاجی اسیدشویی شده (با خلوص بیش از ۹۹ درصد) ، پودر آلومینای ژاپنی (با خلوص ۹۸ درصد)، کربنات منیزیم (با خلوص ۹۸ درصد) ، فلورید منیزیم (با خلوص ۹۸ درصد)، کربنات پتاسیم (با خلوص ۹۸ درصد) و اسیدبوریک صنعتی ترکیه (با خلوص ۹۸ درصد) استفاده شد.

جدول ۱- درصد وزنی آمیزهای مختلف

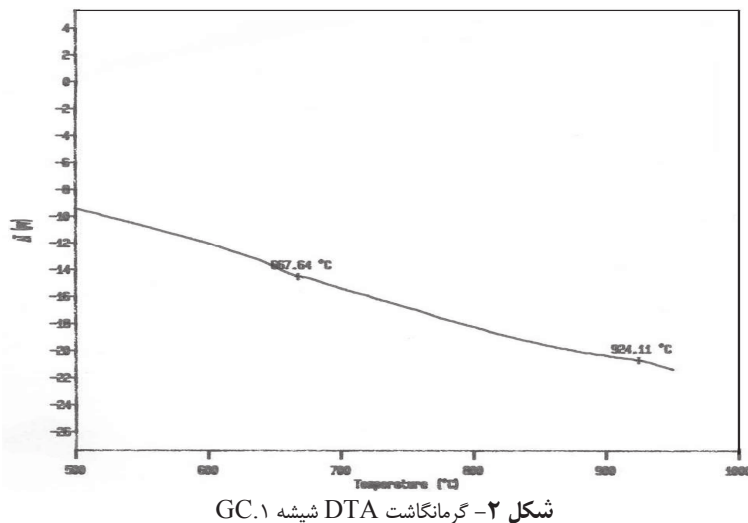
GC.۷	GC.۶	GC.۵	GC.۴	GC.۳	GC.۲	GC.۱	آنالیز شیمیایی (wt%)
۳/۹۱	۴/۰۸	۸	۶	۴/۱۷	۴/۰۹	۴	$K_2O$
۹	۵	۶/۶۸	۶/۸۴	۷/۳۱	۷/۱۶	۷	$B_2O_3$
۴۱/۰۹	۴۲/۹۰	۴۰/۱۳	۴۱/۰۶	۴۳/۸۷	۴۲/۹۳	۴۲	$SiO_2$
۱۹/۵۶	۲۰/۴۳	۱۹/۱۱	۱۹/۵۵	۲۰/۸۹	۲۰/۴۴	۲۰	$MgO$
۱۶/۶۳	۱۷/۳۶	۱۶/۲۴	۱۶/۶۲	۱۷/۷۶	۱۷/۳۸	۱۷	$Al_2O_3$
۹/۷۸	۱۰/۲۱	۹/۵۵	۹/۷۷	۶	۸	۱۰	F

هر آمیز پس از مخلوط شدن، در کوره الکتریکی و در دمای  $1400^\circ C$  به مدت ۱ ساعت درون بوته زیرکنی ذوب شد. مذاب حاصله پس از آنکه درون قالب فولادی شکل داده شد در دمای  $600^\circ C$  به مدت نیم ساعت تنش زدایی شد. عملیات حرارتی به منظور متبلور کردن شیشه در درون کوره الکتریکی و در دمای  $925^\circ C$  به مدت ۸ ساعت، با سرعت گرم کردن  $5^\circ C/min$  انجام شد. تعیین محدوده دمای عملیات حرارتی و همچنین دمای تنفس زدایی با استفاده از دستگاه آنالیز حرارتی DTA مدل STA-1640 ساخت شرکت Polymer

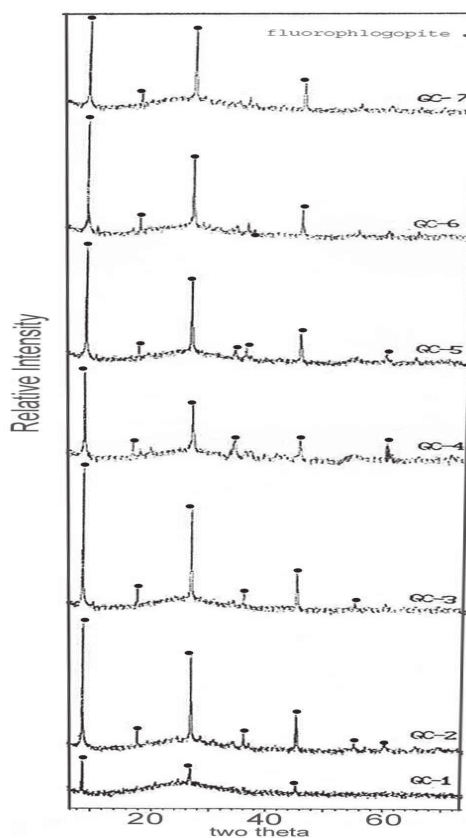




شکل (۲) نتیجه این آزمایش را نشان می‌دهد. Laboratories شناسایی نوع فاز یا فازهای بلورین ایجاد شده پس از عملیات حرارتی در قطعات شیشه - سرامیک با استفاده از دستگاه پراشگر پرتو ایکس (Siemens, D-500) انجام گرفت. در تمامی آزمایش‌ها وزن نمونه‌های آزمایش شده ۳ گرم و دانه‌بندی پودر بین ۴۵ الی ۶۰ میکرون انتخاب شد. شکل ۳ نتیجه حاصل از این آزمایش‌ها برای شیشه‌های متبلور شده ۱ تا ۷ نشان می‌دهند.



شکل ۲- گرمانگاشت DTA شیشه ۱



شکل ۳- منحنی پراش XRD نمونه‌ها

بررسی ریز ساختار و چگونگی توزیع ذرات بلورین در هر یک از قطعات شیشه - سرامیک با استفاده از میکروسکوپ الکترونی روبشی (SEM) مدل Leica Cambridge Scane 360 ساخت شرکت Instron مدل ۱۱۹۶ انجام شد. ابعاد نمونه‌ها برای این آزمایش  $12 \times 5 \times 5$  میلی‌متر مکعب و تعداد نمونه اندازه گیری شده برای هر ترکیب پنج عدد بود. با اعمال بار ۱۰۰g به مدت ۳۰ ثانیه (برای اندازه گیری سختی از دستگاه ریز سختی سنج ویکرز photoplan استفاده شد. قابلیت ماشینکاری شدن هر یک از قطعات شیشه - سرامیک با سوراخکاری آنها توسط مته معمولی (با قطر ۵ میلی‌متر) و سپس اندازه گیری توزیع اندازه ذرات پودر حاصل از ماشینکاری با اندازه گیری بزرگی ذرات با استفاده از پرتو لیزری و با دستگاه Analysette 22 ساخت شرکت Fritsch صورت گرفت.

### ۳- نتایج و بحث

همانطور که در بخش اول نیز بیان شد شیشه - سرامیک‌های تراشکاری شونده می‌توانند حاوی فازهای

بلورین متفاوتی از خانواده میکا باشند. بدینه است که نه تنها تفاوت در نوع میکای متبلور شده می‌تواند بر قابلیت تراشکاری قطعه و خواص مکانیکی آن موثر باشد [۳] بلکه ویژگی‌های دیگری همچون ترکیب و مقدار فاز شیشه باقیمانده و چگونگی رشد ذرات بلورین میکا (از نظر نسبت قطر به ضخامت) نیز می‌تواند بر این ویژگی‌ها تاثیر گذراند [۶]. گفته می‌شود که پارامترهایی از قبیل درصد حجمی زیاد فاز بلورین میکای فلورور، کوچکی اندازه ذرات بلورین، نسبت قطر به ضخامت زیاد ورقه میکا و درهم قفل شدگی زیاد ذرات بلورین میکا در سهولت تراشکاری قطعه دخیل می‌باشند [۳ و ۴ و ۷]. پس هر عاملی که موجب شود ویژگی‌های مذکور در قطعه ایجاد گردد بر کیفیت آن اثر مثبت خواهد داشت. گفته شده است که برای رشد ورقه‌هایی با نسبت قطر به ضخامت زیاد می‌بایست الف) جوانه زنی فاز میکا را تا دمای نسبتاً بالا یعنی دمایی که رشد ناگهانی صورت می‌گیرد به تأخیر انداخت، ب) با محدود کردن غلظت پتانسیم (اتصال دهنده ورقه‌ها) رشد قطری را نسبت به رشد ضخامتی افزایش داد و ج) گرانروی شیشه باقیمانده را با افزایش  $B_2O_3$  کاهش داد تا دیفوژیون سریعتر اجزاء به لبه‌های بلور امکان‌پذیر شود [۷]. انتخاب ترکیبات مختلف موجود در جدول (۱) نیز بر این اساس صورت گرفت. ترکیب ۱ G.C. در این جدول فرمول مبنای بوده و با توجه به محدوده اعلام شده برای این نوع شیشه-سرامیکها در مرجع [۲] انتخاب گردید. و ترکیبات دیگر بر این اساس انتخاب شدند که بتوان تاثیر درصدهای وزنی متفاوتی از یون‌هایی همچون  $K^+$ ,  $B^{3+}$  و  $F^-$  را (با ثابت نگه داشتن درصد وزنی  $GC_2$  بقیه عناصر در هر فرمول) در شیشه - سرامیک‌ها مورد بررسی قرار داد. بر این اساس شیشه‌های  $GC_3$  و  $GC_4$  بر اساس تغییر فلورور نسبت به فرمول مبنای  $GC_1$  یعنی، ترکیبات  $GC_2$  و  $GC_3$  بر اساس تغییر  $K_2O$  نسبت به فرمول مبنای  $GC_2$  و  $GC_4$  بر اساس تغییر  $B_2O_3$  نسبت به فرمول مبنای  $GC_1$  تهیه شدند.

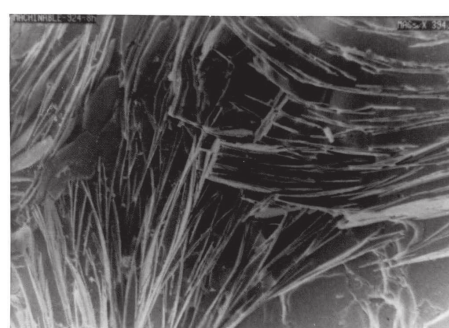
جدول ۲- نتایج آزمایش‌های انجام شده بر روی نمونه‌ها

GC.۷	GC.۶	GC.۵	GC.۴	GC.۳	GC.۲	GC.۱	خواص بررسی شده
۷۹	۶۵	۶۵/۵	۴۰/۷	۱۰۰	۷۹	۹/۵	شدت نسبی صفحه (۰۰۱) فاز میکا (%)
متوسط	متوسط	بسیار خوب	خوب	خوب	خوب	بد	قابلیت تراشکاری
فلوگوپیت	فلوگوپیت	فلوگوپیت	فلوگوپیت	فلوگوپیت	فلوگوپیت		فاز بلورین
<۸/۸۵	<۷/۹۷	<۴/۸۶	<۵/۴۳	<۷/۷۱	<۸/۷۷	<۸/۵۸	$d_{50}(\mu\text{m})$ ناشی از تراشکاری
۵/۵	۹	۴۲	۱۴	۷/۵	۱۶/۵	۲۵/۵	استحکام MPa
۴/۵۱	۲/۹۲	۲/۵۱	۳/۰۳	۳/۲۵	۴/۴۶	۴/۰۸	سختی GPa

جدول (۲) ماحصل آزمایش‌های XRD، استحکام خمی، ریزسختی، قابلیت تراشکاری و چگونگی توزیع اندازه ذرات پودرهای ناشی از تراشکاری هر یک از این شیشه - سرامیک‌ها را نشان می‌دهد. همانگونه که در جدول (۲) دیده می‌شود در میان این ترکیبات سه ترکیب  $GC_2$ ,  $GC_3$  و  $GC_4$  از قابلیت تراشکاری خوب، دو ترکیب  $GC_6$ ،  $GC_7$  از قابلیت تراشکاری متوسط، ترکیب ۱ GC از قابلیت تراشکاری بد و ترکیب از  $GC_5$  از قابلیت تراشکاری خیلی خوب برخوردار بودند.

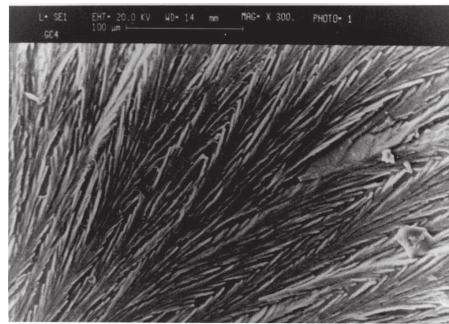


شکل ۵- ریزساختار نمونه ۲ GC.۲ پس از عملیات حرارتی (بزرگنمایی ۳۰۰)

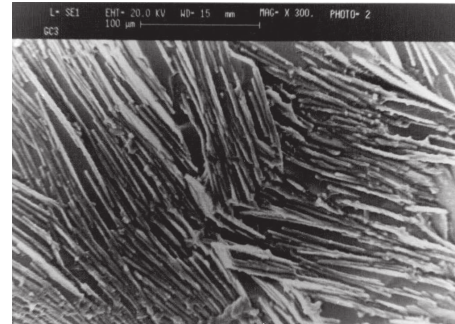


شکل ۶- ریزساختار نمونه ۱ GC.۱ پس از عملیات حرارتی (بزرگنمایی ۳۰۰)





شکل ۷- ریز ساختار نمونه ۴ GC پس از عملیات حرارتی (بزرگنمایی ۳۰۰)



شکل ۶- ریز ساختار نمونه ۳ GC پس از عملیات حرارتی (بزرگنمایی ۳۰۰)

علت ویژگی تراشکاری بد در شیشه - سرامیک GC1، با توجه به شدت پیک پرتو ایکس صفحه (۰۰۱) فاز فلوگوپیت در این شیشه سرامیک، را می‌توان به میزان تبلور اندک در شیشه مذکور مربوط دانست. اما برای درک تفاوت قابلیت تراشکاری بین ترکیبات دیگر مجدداً می‌بایست تفاوت‌های ریزساختاری بین آنها را مورد ارزیابی قرار داد. تصاویر ۴ تا ۱۰ به ترتیب ریز ساختار شیشه سرامیک‌های G.C.۱ تا G.C.۷ را که توسط میکروسکوپ الکترونی روبشی تهیه شده‌اند نشان می‌دهد. همانطور که مشاهده می‌شود

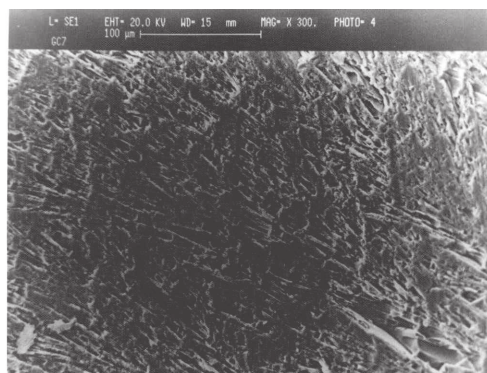


شکل ۸- ریز ساختار نمونه ۵ GC پس از عملیات حرارتی (بزرگنمایی ۳۰۰)

ریزساختار شیشه - سرامیک GC5 از نظر کوچکی خوش‌های بلورین و میزان درهم قفل شدن آنها از ریز ساختار بقیه شیشه - سرامیک‌ها کاملاً متمایز و اندازه ورقه‌های میکا در آن کوچکتر از صد میکرون می‌باشد. بنابراین همانگونه که محققین دیگر نیز قبلاً گزارش کرده‌اند در این مورد وجود چنین ریز ساختاری موجب برخورداری شیشه - سرامیک GC5 از قابلیت تراشکاری بسیار زیاد و همچنین استحکام بیشتر نسبت به نمونه‌های دیگر می‌باشد [۴۰]. شیشه - سرامیک مذکور از نظر متوسط اندازه ذرات پودر حاصل از سوراخکاری و همچنین سختی نیز با دیگر قطعات مورد بررسی متفاوت می‌باشد. از جدول (۲) می‌توان مشاهده کرد که متوسط اندازه ذرات پودر حاصل از سوراخکاری این شیشه سرامیک و همچنین سختی آن نسبت به شیشه - سرامیک‌های دیگر از کمترین مقدار برخوردار می‌باشد. گفته می‌شود ابعاد پودر حاصل از تراشکاری به ابعاد ورقه‌های بلورین میکا در قطعه شیشه - سرامیک بستگی دارد [۹]. بنابراین همانطور که از تصاویر میکروسکوپی نیز مشاهده گردید، می‌توان نتیجه گرفت که ورقه‌های بلورین فلوگوپیت در شیشه - سرامیک GC5 ابعاد کوچکتری نسبت به شیشه - سرامیک‌های دیگر دارند. این ابعاد ریز استحکام زیاد این شیشه سرامیک را نیز در مقایسه به دیگر شیشه - سرامیک‌ها توجیه می‌نماید زیرا گفته شده است زمانی که ابعاد ورقه‌های بلورین میکا بزرگتر از ۴/۵ میکرون باشد استحکام قطعه با توان یکم قطر ورقه نسبت عکس خواهد داشت [۴۰]. گفته می‌شود این حالت به تمرکز تنش در فصل مشترک بلور - شیشه، ناشی از عدم تطابق ضرایب انبساط حرارتی فاز میکا با زمینه شیشه مربوط می‌شود که با بزرگتر شدن ابعاد ذرات

بلورین، بزرگتر شدن تنش‌های ایجاد شده، که گاه با ایجاد ریز ترک همراه است و در نتیجه کاهش استحکام را به همراه خواهد داشت [۳ و ۴ و ۸]. باید توجه داشت که سختی ماده فاکتور دیگری است که در قابلیت تراشکاری شیشه - سرامیک اثر دارد. واضح است که موادی که سختی کمتری دارند از قابلیت تراشکاری بیشتری نیز برخوردار باشند.

نکته دیگری که از دیدگاه علم مواد قابل توجه است، مغایرتی است که در وهله اول به نظر می‌رسد نتیجه حاصل از روند افزایش میزان کاتیون  $K^+$  بر ویژگی تراشکاری قطعه شیشه - سرامیک با اکثربیت منابع علمی دیگردارا می‌باشد. همانطور که قبل ذکر شد برخی از محققین معتقدند که به منظور بهبود قابلیت تراشکاری شیشه - سرامیک‌های میکائی فلورئ (از طریق افزایش نسبت قطر به ضخامت ورقه‌های میکا) می‌باشد تا حد امکان غلظت  $K^+$  را در شیشه کاهش داد [۷ و ۸]. اما Chyung و همکارانش معتقدند که کاهش غلظت  $K^+$  در شیشه می‌تواند کاهش احتمال جوانه‌زنی بلورهای میکا را نیز در پی داشته باشد [۸]. با تائید این نظر و با توجه به تصویر (۸) به نظر می‌رسد که در پژوهش حاضر افزایش غلظت  $K^+$  در شیشه اولیه موجب افزایش قابلیت جوانه‌زنی فاز بلوری میکا و از سوی دیگر کاهش نسبت قطر به ضخامت بلورهای میکا (از طریق افزایش سرعت رشد ضخامتی) را به همراه داشته است. گفته شده است که نسبت قطر به ضخامت برابر با ۱۲، بیشترین میزان استحکام را به همراه دارد و نسبتها بزرگتر از آن تاثیری بر افزایش استحکام ندارد [۱۰]. بنابراین به نظر می‌رسد کاهش استحکام ناشی از تنش‌ها و احتمالاً ترکهای ناشی از عدم تطابق ضرایب انبساط حرارتی دو فاز شیشه باقی مانده و بلور میکا که با رشد قطری رابطه مستقیم دارد نقش مهمی را در کاهش استحکام نمونه‌های حاوی  $K_2O$  کم ایفا می‌نماید.



شکل ۱۰- ریزساختار نمونه GC.6 پس از عملیات حرارتی  
(بزرگنمایی ۳۰۰)



شکل ۹- ریزساختار نمونه GC.6 پس از عملیات حرارتی  
(بزرگنمایی ۳۰۰)

کاهش تدریجی فلورئ از ۱۰ به ۶ درصد وزنی، کاهش استحکام و همچنین کاهش سختی قطعات شیشه - سرامیک را به ترتیب از  $4/0.7GPa$  و  $25/5 GPa$  (در ترکیب GC1) به  $7/0.5GPa$  و  $3/2.5GPa$  (در ترکیب GC3) به دنبال داشت. با توجه به نقش کمک ذوب گونه فلورئ در ترکیب شیشه [۱۱] انتظار می‌رفت که کاهش این ماده افزایش خواص مکانیکی را به همراه داشته باشد اما با توجه به آنکه ماده اولیه تامین کننده فلورئ در این پژوهش  $MgF_2$  بود، نتایج مذکور معقول به نظر می‌آید. زیرا گفته می‌شود که  $MgF_2$  در ترکیب این نوع شیشه‌ها به عنوان عامل جوانه‌زای فازهای بلورین عمل می‌کند [۸ و ۱۲ و ۱۳]. با توجه به این موضوع می‌توان انتظار داشت که کاهش درصد وزنی  $MgF_2$  کاهش تعداد مراکز جوانه‌زنی و در نتیجه افزایش بیش از حد قطر ورقه‌های میکا را در پی داشته باشد که این حالت خود اثر سوء بر استحکام و سختی قطعه خواهد داشت.

نحوه تغییر استحکام و سختی قطعات شیشه - سرامیک با تغییر درصد وزنی  $B_2O_3$  از روند خاصی تبعیت نکرد و نتایج حاصل با توجه به داده‌ها و اطلاعات موجود غیر قابل توضیح می‌باشد.



## ۴- نتیجه‌گیری

- از انجام این پژوهش نتایج ذیل حاصل گردید:
- با افزایش درصد  $K_2O$  در ترکیب شیشه قابلیت تراشکاری، سختی و استحکام قطعه شیشه - سرامیک افزایش می‌یابد.
- با توجه به تصاویر میکروسکوپی SEM و نتایج XRD، به نظر می‌رسد که بهبود خواص شیشه - سرامیک (ناشی از بیشتر شدن درصد  $K_2O$ ) از افزایش درصد حجمی، ریزتر شدن و بی‌نظمی بیشتر در نحوه آرایش خوش‌های بلوری فاز میکائی فلوئور سرچشمه می‌گیرد.
- افزایش  $K_2O$  در ترکیب شیشه از طریق کاهش نسبت قطر به ضخامت بلورهای ورقه‌ای میکائی فلوئور و در نتیجه کاهش تنش ناشی از عدم انطباق ضرایب انبساط حرارتی فاز بلوری و زمینه شیشه، موجب افزایش استحکام ترکیب GC5 نسبت به ترکیبات دیگر می‌گردد.
- به نظر می‌رسد کاهش میزان F، از طریق کاهش میزان  $MgF_2$ ، موجب کاهش مقدار مراکز جوانه‌زنی و در نتیجه رشد افراطی قطر ورقه می‌شود. این حالت کاهش استحکام و سختی را در پی خواهد داشت.

## مراجع

1. Daniels,W.H. & Moore,R.E., "Crystallization of a Tetrasilicic Fluoromica Glass", J.Am.Ceram.Soc,58: 217-221(1975).
2. Beall,G.H., "Design of Glass-Ceramic", Reviews of Solid State Science,World Scientific Publishing Company, 3: 333-354(1989).
3. Grossman,D.G., "Machining a Machinable Glass-Ceramic", Vacuum,28: 55-61(1977).
4. Grossman,D.G., "Machinable Glass-Ceramic Based on Tetrasilicic Mica", J.Am.Ceram.Soc,55: 446-449(1972).
5. Strand,Z, "Glass-Ceramic Materials", Glass Science and Technology,Elsevier, New York,PP: 107-110(1986).
6. Rothenberg,B.G., "Glass Technology",Noyes Data Corporation,New Jersey,PP: 233-235(1976).
7. Meyers,R.A., "Encyclopedia of Physical Science and Technology",Academic Press,New York,Volume 7,PP: 450-455(1987).
8. Chyung,C.K. Beall,G.H. and Grossman,D.H., "Microstructure & Mechanical Properties of Mica Glass-Ceramic", in Tenth International Congress on Glass,Part II,Edited by Kunugi,M., Tashiro,M. and Saga,N.,The Ceramic Society of Japan,Kyoto,Japan,PP: 14.33-14.47(1974).
9. Saraswati.,V., "Development of a Machinable Glass-Ceramic", Advanced Ceramic,PP: 193-197(1990).
10. Wachtman,John B, "Mechanical Properties of Ceramics", John Wiley & Sons,New York(1996).
11. Likitvanichkul,S. and Lacourse,W.C., "Effect of Fluorine Content on Crystallization of Canasite Glass-Ceramics", J.Mat.Sci.,30: 6151-6155(1995).
12. Hamasaki,T.,Katsuya,Eguchi.,Yoshinori,Koyanagi.,Matsumoto,A.,Utsunomiya,T. and Koba,K., "Preparation and Characterization of Machinable Mica Glass-Ceramic by the Sol-Gel Process", J.Am.Ceram.Soc.,71[12]: 1120-1124(1988).
13. Dalal,K.H. and Davis,P.F., "Beta Spodomene-Mica Glass-Ceramic I,Phase Evolution and Microstructure", Ceramic Bulletin,56: 991-997(1977).

